Table des matières

	Introduction	5
ı	Transport en milieu désordonné : phénomène de localisat	ion
1	Phénomène de localisation d'Anderson	g
1.1	Diffusion et interférences	ğ
1.1.1	Phénomène de diffusion	ç
1.1.2	Localisation faible	
1.1.3	Suppression du transport : Localisation d'Anderson	9
1.2	Localisation des atomes froids	10
1.2.1	Etudes expérimentales de la localisation d'Anderson	
1.2.2	L'approche des atomes froids	10
1.3	Vers l'étude du régime critique	10
1.3.1	Etat de l'art de l'étude de la transition d'Anderson	
1.3.2	Nécessité d'une spectroscopie pour sonder le régime critique	10
П	Transport d'atomes ultrafroids dans un speckle	
2	Production d'une source cohérente d'ondes de matière	. 13
2.1	Condensation de Bose-Einstein	13
2.1.1	Statistique de Bose-Einstein	13
2.1.2	Propriétés d'un condensat de Bose-Einstein	
2.2	Processus d'interaction lumière-matière	13
2.2.1	Potentiel dipolaire	13
2.2.2	Force de pression de radiation	
2.2.3	Potentiel magnétique	
2.2.4	Couplage radio-fréquence	
2.3	Description d'un cycle expérimental	13
2.3.1	Première chambre	
2.3.2	Chambre de science	

3	Mises à jour de l'expérience	15
3.1	Mise à jour de l'informatique de l'expérience	15
3.1.1	Contrôle de l'expérience : passage à la suite Cicero	. 15
3.1.2	Développement d'une nouvelle interface d'acquisition et de traitement d'images	. 15
3.2	Réparation et recalibration de la lévitation magnétique	15
3.2.1	Réparation de la lévitation magnétique	. 15
3.2.2	Calibration par oscillations	
3.2.3	Calibration par radio-fréquences	
3.3	Changement du laser telecom et calibration du piège optique	15
3.3.1	Changement du laser telecom	
3.3.2	Calibration du piège optique	
3.4	Optimisation de l'évaporation tout-optique	15
4	Propriétés d'un désordre de type speckle	17
4.1	Propriétés statistiques d'un champ de speckle	17
4.1.1	Propriétés du diffuseur	
4.1.2	Statistiques de l'intensité d'un speckle	. 17
4.2	Corrélations spatiales d'un champ de speckle	17
4.2.1	Corrélation transverse	
4.2.2	Corrélation longitudinale	
4.3	Propriétés du potentiel de type speckle	17
4.3.1	Propriétés du potentiel	
4.3.2	Possibilité d'un potentiel dépendant de l'état interne	
4.4 4.4.1	Potentiel composé d'un speckle bichromatique	17
4.4.1	S'éloigner de résonance	
4.4.2	Litude de la similitude de deux speckies	. 11
Ш	Temps de diffusion élastique	
5	Temps de diffusion élastique	21
5.1	Approximation de Born	21
5.1.1	Règle d'or de Fermi	. 21
5.1.2	Régimes de diffusion	. 21
5.2	Mesure du temps de diffusion élastique	21
5.2.1	Procédure expérimentale	. 21
5.2.2	Extraction du temps de diffusion élastique	
5.2.3	Calibration de l'amplitude du désordre	
5.3	Comportement du temps de diffusion élastique	21
5.3.1	Régime de Born	
5.3.2 5.3.3	Déviations au régime de Born	
J.J.J	Depart quadratique	. 21
6	Approche spectrale	23
6.1	Temps de diffusion élastique et fonctions spectrales	23
6.1.1	Généralités sur la fonction spectrale	. 23

TABL	LE DES MATIÈRES	3
6.1.2 6.1.3 6.1.4	Approximation de Born : premier ordre	. 23
6.2	Temps de diffusion élastique et fonctions spectrales mesurées pour un désor de type speckle	dre 23
6.2.1 6.2.2 6.2.3	Limite de l'approche auto-consistante pour un désordre de type speckle	. 23
	Conclusion et perspectives	25
IV	Annexes	
Α	Calculs de champs de tavelures	29
A .1	Champ rayonné	29
A .2	Fonction de corrélation	29
В	Calcul du temps de diffusion élastique par le développement de Born	31
	Bibliographie	35

Introduction

Intro générale sur la physique, le contexte et présentation du plan.

Transport en milieu désordonné : phénomène de localisation

- 1 Phénomène de localisation d'Anderson .. 9
- 1.1 Diffusion et interférences
- 1.2 Localisation des atomes froids
- 1.3 Vers l'étude du régime critique

Phénomène de localisation d'Anderson

présentation des effets d'interférences dans le désordre. scaling theory à la delande uniquement sur la conductance pour présenter la localisation 1D et 2D puis la 3D avec la transition. Terminer sur la quête du régime critique avec le graphe de delande2017, et introduction aux manips récentes et futures.

1.1. Diffusion et interférences

1.1.1 Phénomène de diffusion

Lorem ipsum dolor sit amet, consectetuer adipiscing elit. Ut purus elit, vestibulum ut, placerat ac, adipiscing vitae, felis. Curabitur dictum gravida mauris. Nam arcu libero, nonummy eget, consectetuer id, vulputate a, magna. Donec vehicula augue eu neque. Pellentesque habitant morbi tristique senectus et netus et malesuada fames ac turpis egestas. Mauris ut leo. Cras viverra metus rhoncus sem. Nulla et lectus vestibulum urna fringilla ultrices. Phasellus eu tellus sit amet tortor gravida placerat. Integer sapien est, iaculis in, pretium quis, viverra ac, nunc. Praesent eget sem vel leo ultrices bibendum. Aenean faucibus. Morbi dolor nulla, malesuada eu, pulvinar at, mollis ac, nulla. Curabitur auctor semper nulla. Donec varius orci eget risus. Duis nibh mi, congue eu, accumsan eleifend, sagittis quis, diam. Duis eget orci sit amet orci dignissim rutrum.

1.1.2 Localisation faible

Nam dui ligula, fringilla a, euismod sodales, sollicitudin vel, wisi. Morbi auctor lorem non justo. Nam lacus libero, pretium at, lobortis vitae, ultricies et, tellus. Donec aliquet, tortor sed accumsan bibendum, erat ligula aliquet magna, vitae ornare odio metus a mi. Morbi ac orci et nisl hendrerit mollis. Suspendisse ut massa. Cras nec ante. Pellentesque a nulla. Cum sociis natoque penatibus et magnis dis parturient montes, nascetur ridiculus mus. Aliquam tincidunt urna. Nulla ullamcorper vestibulum turpis. Pellentesque cursus luctus mauris.

1.1.3 Suppression du transport : Localisation d'Anderson

Nulla malesuada porttitor diam. Donec felis erat, congue non, volutpat at, tincidunt tristique, libero. Vivamus viverra fermentum felis. Donec nonummy pellentesque ante. Phasellus adipiscing semper elit. Proin fermentum massa ac quam. Sed diam turpis, molestie vitae, placerat a, molestie nec, leo. Maecenas lacinia. Nam ipsum ligula, eleifend at, accumsan nec, suscipit a, ipsum. Morbi blandit ligula feugiat magna. Nunc eleifend

consequat lorem. Sed lacinia nulla vitae enim. Pellentesque tincidunt purus vel magna. Integer non enim. Praesent euismod nunc eu purus. Donec bibendum quam in tellus. Nullam cursus pulvinar lectus. Donec et mi. Nam vulputate metus eu enim. Vestibulum pellentesque felis eu massa.

1.2. Localisation des atomes froids

1.2.1 Etudes expérimentales de la localisation d'Anderson

Quisque ullamcorper placerat ipsum. Cras nibh. Morbi vel justo vitae lacus tincidunt ultrices. Lorem ipsum dolor sit amet, consectetuer adipiscing elit. In hac habitasse platea dictumst. Integer tempus convallis augue. Etiam facilisis. Nunc elementum fermentum wisi. Aenean placerat. Ut imperdiet, enim sed gravida sollicitudin, felis odio placerat quam, ac pulvinar elit purus eget enim. Nunc vitae tortor. Proin tempus nibh sit amet nisl. Vivamus quis tortor vitae risus porta vehicula.

1.2.2 L'approche des atomes froids

Fusce mauris. Vestibulum luctus nibh at lectus. Sed bibendum, nulla a faucibus semper, leo velit ultricies tellus, ac venenatis arcu wisi vel nisl. Vestibulum diam. Aliquam pellentesque, augue quis sagittis posuere, turpis lacus congue quam, in hendrerit risus eros eget felis. Maecenas eget erat in sapien mattis porttitor. Vestibulum porttitor. Nulla facilisi. Sed a turpis eu lacus commodo facilisis. Morbi fringilla, wisi in dignissim interdum, justo lectus sagittis dui, et vehicula libero dui cursus dui. Mauris tempor ligula sed lacus. Duis cursus enim ut augue. Cras ac magna. Cras nulla. Nulla egestas. Curabitur a leo. Quisque egestas wisi eget nunc. Nam feugiat lacus vel est. Curabitur consectetuer.

1.3. Vers l'étude du régime critique

1.3.1 Etat de l'art de l'étude de la transition d'Anderson

Suspendisse vel felis. Ut lorem lorem, interdum eu, tincidunt sit amet, laoreet vitae, arcu. Aenean faucibus pede eu ante. Praesent enim elit, rutrum at, molestie non, nonummy vel, nisl. Ut lectus eros, malesuada sit amet, fermentum eu, sodales cursus, magna. Donec eu purus. Quisque vehicula, urna sed ultricies auctor, pede lorem egestas dui, et convallis elit erat sed nulla. Donec luctus. Curabitur et nunc. Aliquam dolor odio, commodo pretium, ultricies non, pharetra in, velit. Integer arcu est, nonummy in, fermentum faucibus, egestas vel, odio.

1.3.2 Nécessité d'une spectroscopie pour sonder le régime critique

Sed commodo posuere pede. Mauris ut est. Ut quis purus. Sed ac odio. Sed vehicula hendrerit sem. Duis non odio. Morbi ut dui. Sed accumsan risus eget odio. In hac habitasse platea dictumst. Pellentesque non elit. Fusce sed justo eu urna porta tincidunt. Mauris felis odio, sollicitudin sed, volutpat a, ornare ac, erat. Morbi quis dolor. Donec pellentesque, erat ac sagittis semper, nunc dui lobortis purus, quis congue purus metus ultricies tellus. Proin et quam. Class aptent taciti sociosqu ad litora torquent per conubia nostra, per inceptos hymenaeos. Praesent sapien turpis, fermentum vel, eleifend faucibus, vehicula eu, lacus.

Transport d'atomes ultrafroids dans un speckle

2	Production d'une source cohérente d'ondes
	de matière
2.1	Condensation de Bose-Einstein
2.2	Processus d'interaction lumière-matière
2.3	Description d'un cycle expérimental
3	Mises à jour de l'expérience 15
3.1	Mise à jour de l'informatique de l'expérience
3.2	Réparation et recalibration de la lévitation magnétique
3.3	Changement du laser telecom et calibration du piège optique
3.4	Optimisation de l'évaporation tout-optique
4	Propriétés d'un désordre de type speckle 17
4.1	Propriétés statistiques d'un champ de speckle
4.2	Corrélations spatiales d'un champ de speckle
4.3	Propriétés du potentiel de type speckle
4.4	Potentiel composé d'un speckle bichromatique

Production d'une source cohérente d'ondes de matière

interaction lumière-atome, BEC, principales étapes de refroidissement.

_	-4				•		
"		(onc	lensation	de F	የሀሪኮ-	Fins:	tein

2.1.1	Statistique	de	Bose-	Einst	ein
-------	-------------	----	-------	-------	-----

2.1.2 Propriétés d'un condensat de Bose-Einstein

2.2. Processus d'interaction lumière-matière

- 2.2.1 Potentiel dipolaire
- 2.2.2 Force de pression de radiation
- 2.2.3 Potentiel magnétique
- 2.2.4 Couplage radio-fréquence

2.3. Description d'un cycle expérimental

- 2.3.1 Première chambre
- 2.3.2 Chambre de science
- 2.3.3 Imagerie

Mises à jour de l'expérience

parler des modifications apportées à la manip : cicero, ODT + evap, calibration levitation par oscillations + spin-flip, réparation lévitation...

3.1. Mise à jour de l'informatique de l'expérience

- 3.1.1 Contrôle de l'expérience : passage à la suite Cicero
- 3.1.2 Développement d'une nouvelle interface d'acquisition et de traitement d'images
 - 3.2. Réparation et recalibration de la lévitation magnétique
- 3.2.1 Réparation de la lévitation magnétique
- 3.2.2 Calibration par oscillations
- 3.2.3 Calibration par radio-fréquences
 - 3.3. Changement du laser telecom et calibration du piège optique
- 3.3.1 Changement du laser telecom
- 3.3.2 Calibration du piège optique
 - 3.4. Optimisation de l'évaporation tout-optique

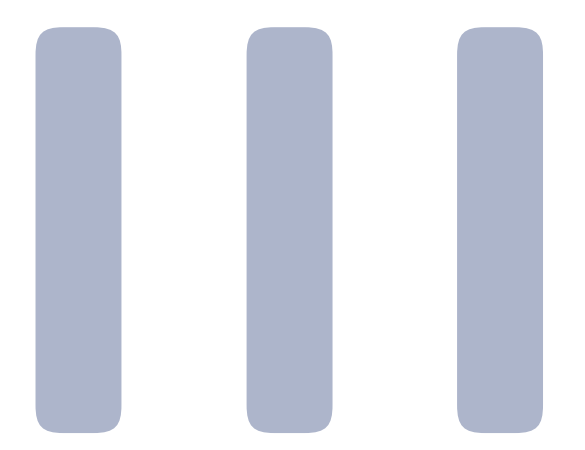
Propriétés d'un désordre de type speckle

propriétés speckle "simple", proriétés statistiques, spatiales 3D... meilleure modélisation avec effets non paraxiaux?

propriétés double speckle (stage M2? - ou alors à compléter rapidement)

4.1. Propriétés statistiques d'un champ de speckle

- 4.1.1 Propriétés du diffuseur
- 4.1.2 Statistiques de l'intensité d'un speckle
 - 4.2. Corrélations spatiales d'un champ de speckle
- 4.2.1 Corrélation transverse
- 4.2.2 Corrélation longitudinale
 - 4.3. Propriétés du potentiel de type speckle
- 4.3.1 Propriétés du potentiel
- 4.3.2 Possibilité d'un potentiel dépendant de l'état interne
 - 4.4. Potentiel composé d'un speckle bichromatique
- 4.4.1 S'éloigner de résonance
- 4.4.2 Étude de la similitude de deux speckles



Temps de diffusion élastique

5	Temps de diffusion élastique 21
5.1	Approximation de Born
5.2	Mesure du temps de diffusion élastique
5.3	Comportement du temps de diffusion élastique
6	Approche spectrale 23
6.1	Temps de diffusion élastique et fonctions spectrales
6.2	Temps de diffusion élastique et fonctions spectrales mesu-
	rées pour un désordre de type speckle

Temps de diffusion élastique

description temps de diffusion élastique, description rapide de la mesure. comparaison born ordre 1 (donné par Fermi Golden Rule), discussion kls, comparaison gaussien rouge bleu...

reprendre le PRL

5.1. Approximation de Born

- 5.1.1 Règle d'or de Fermi
- 5.1.2 Régimes de diffusion

5.2. Mesure du temps de diffusion élastique

- 5.2.1 Procédure expérimentale
- 5.2.2 Extraction du temps de diffusion élastique
- 5.2.3 Calibration de l'amplitude du désordre

5.3. Comportement du temps de diffusion élastique

- 5.3.1 Régime de Born
- 5.3.2 Déviations au régime de Born
- 5.3.3 Départ quadratique

Approche spectrale

Approche fonctions de green, ordre 1, ordre 2, SCBA... départ quadratique? mesure fonctions spectrales?

reprendre le NJP, et tenter une explication du départ quadratique. Faire gaffe avec les décroissances!

6.1. Temps de diffusion élastique et fonctions spectrales

- **6.1.1** Généralités sur la fonction spectrale
- 6.1.2 Approximation de Born : premier ordre
- 6.1.3 Approximation de Born : second ordre
- **6.1.4** Approximation de Born auto-consistante
 - 6.2. Temps de diffusion élastique et fonctions spectrales mesurées pour un désordre de type speckle
- 6.2.1 Limite de l'approche auto-consistante pour un désordre de type speckle
- **6.2.2** Mesure des fonctions spectrales
- 6.2.3 Comparaison du temps de diffusion élastique avec les fonctions spectrales mesurées

Conclusion et perspectives

Conclusion générique, ouverture sur la mesure du régime critique, mesures de fonctions spectrales à vitesse non nulle, CFS, localization landscape, DMD pour autres types de désordre et classes d'universalité...

Annexes

Α	Calculs de champs de tavelures 29
A.1	Champ rayonné
A.2	Fonction de corrélation
В	Calcul du temps de diffusion élastique par le
	dévelonnement de Born 31

Annexe A

Calculs de champs de tavelures

1.1. Champ rayonné

Champ rayonné (Huygens-Fresnel paraxial) :

$$E(x,y,d) = \frac{e^{ik\left(d + \frac{x^2 + y^2}{2d}\right)}}{i\lambda} \int dx_0 dy_0 E_0(x_0, y_0) t(x_0, y_0) e^{ik\frac{(x_0^2 + y_0^2)}{2d_{eff}}} e^{-ik\frac{(xx_0 + yy_0)}{d}}$$
(A.1)

avec $1/d_{eff} = 1/d - 1/f$ et $k = 2\pi/\lambda$.

1.2. Fonction de corrélation

$$C_{\delta I}(x_1, x_2, \lambda_1, \lambda_2) = \langle (I(x_1, \lambda_1) - \langle I(x_1, \lambda_1) \rangle) (I(x_2, \lambda_2) - \langle I(x_2, \lambda_2) \rangle) \rangle$$

$$= |C_E(x_1, x_2, \lambda_1, \lambda_2)|^2$$
(A.2)

avec

$$C_E(x_1, x_2, y_1, y_2, d_1, d_2, \lambda_1, \lambda_2) = \langle E(x_1, y_1, d_1, \lambda_1) E^*(x_2, y_2, d_2, \lambda_2) \rangle$$
 (A.3)

donne:

$$C_E \propto \text{TF}\left[I_{eff}(x_0, y_0) \times G_{0eff}(x_0, y_0)\right]_{\left[\frac{x_1 k_1}{d_1} - \frac{x_2 k_2}{d_2}\right]}$$
 (A.4)

avec

$$I_{eff}(x_0) = I_0(x_0) \times e^{i\frac{x_0^2}{2} \left(\frac{k_1}{d_{eff1}} + \frac{k_2}{d_{eff2}}\right)}$$

$$G_{0eff}(x_0) = \text{TF}^{-1} \left(C_{diff}(\Delta x)\right) \left[\frac{x_0}{2} \left(\frac{k_1}{d_{eff1}} + \frac{k_2}{d_{eff2}}\right) - \frac{x_1 k_1}{d_1} - \frac{x_2 k_2}{d_2}\right]$$

Annexe B

Calcul du temps de diffusion élastique par le développement de Born

Bibliographie

- N. M. Abraham, H. Spors, A. Carleton, T. W. Margrie, T. Kuner, and A. T. Schaefer. Maintaining accuracy at the expense of speed: stimulus similarity defines odor discrimination time in mice. *Neuron*, 44(5):865–876, 2004.
- K. H. Britten, M. N. Shadlen, W. T. Newsome, and J. A. Movshon. The analysis of visual motion: a comparison of neuronal and psychophysical performance. *Journal of Neuroscience*, 12(12):4745–4765, 1992.
- K. H. Britten, M. N. Shadlen, W. T. Newsome, and J. A. Movshon. Responses of neurons in macaque mt to stochastic motion signals. *Visual neuroscience*, 10(6):1157–1169, 1993.
- N. Brunel and X.-J. Wang. Effects of neuromodulation in a cortical network model of object working memory dominated by recurrent inhibition. *Journal of computational neuroscience*, 11(1):63–85, 2001.
- J. Ditterich, M. E. Mazurek, and M. N. Shadlen. Microstimulation of visual cortex affects the speed of perceptual decisions. *Nature neuroscience*, 6(8):891–898, 2003.
- S. M. Fleming, R. S. Weil, Z. Nagy, R. J. Dolan, and G. Rees. Relating introspective accuracy to individual differences in brain structure. *Science*, 329(5998):1541–1543, 2010.
- W. J. Freeman. The hebbian paradigm reintegrated: local reverberations as internal representations. *Behavioral and brain sciences*, 18(4):631–631, 1995.
- S. Funahashi, C. J. Bruce, and P. S. Goldman-Rakic. Mnemonic coding of visual space in the monkey's dorsolateral prefrontal cortex. *Journal of neurophysiology*, 61(2):331–349, 1989.
- J. W. Gnadt and R. A. Andersen. Memory related motor planning activity in posterior parietal cortex of macaque. *Experimental brain research*, 70(1):216–220, 1988.
- J. I. Gold and M. N. Shadlen. The neural basis of decision making. *Annual review of neuroscience*, 30, 2007.
- P. S. Goldman-Rakic. Cellular basis of working memory. Neuron, 14(3):477–485, 1995.
- R. R. Hampton. Rhesus monkeys know when they remember. *Proceedings of the National Academy of Sciences*, 98(9):5359–5362, 2001.

34 BIBLIOGRAPHIE

D. P. Hanes and J. D. Schall. Neural control of voluntary movement initiation. *Science*, 274(5286):427–430, 1996.

- T. D. Hanks, J. Ditterich, and M. N. Shadlen. Microstimulation of macaque area lip affects decision-making in a motion discrimination task. *Nature neuroscience*, 9(5):682–689, 2006.
- W. E. Hick. On the rate of gain of information. Quarterly Journal of experimental psychology, 4(1):11–26, 1952.
- A. Huk and M. L. Meister. Neural correlates and neural computations in posterior parietal cortex during perceptual decision-making. *Frontiers in integrative neuroscience*, 6:86, 2012.
- A. C. Huk and M. N. Shadlen. Neural activity in macaque parietal cortex reflects temporal integration of visual motion signals during perceptual decision making. *Journal of Neuroscience*, 25(45):10420–10436, 2005.
- A. Kepecs and Z. F. Mainen. A computational framework for the study of confidence in humans and animals. *Philosophical Transactions of the Royal Society B Biological Sciences*, 367(1594):1322–1337, 2012. ISSN 0962-8436. doi: 10.1098/rstb.2012.0037.
- R. Kiani and M. N. Shadlen. Representation of confidence associated with a decision by neurons in the parietal cortex. *science*, 324(5928):759–764, 2009.
- R. Kiani, T. D. Hanks, and M. N. Shadlen. Bounded integration in parietal cortex underlies decisions even when viewing duration is dictated by the environment. *Journal of Neuroscience*, 28(12):3017–3029, 2008.
- J. Klayman, J. B. Soll, C. Gonzalez-Vallejo, and S. Barlas. Overconfidence: It depends on how, what, and whom you ask. Organizational behavior and human decision processes, 79(3):216-247, 1999.
- Y. Komura, A. Nikkuni, N. Hirashima, T. Uetake, and A. Miyamoto. Responses of pulvinar neurons reflect a subject's confidence in visual categorization. *Nature neuroscience*, 16 (6):749, 2013.
- S. Lichtenstein and B. Fischhoff. Do those who know more also know more about how much they know? Organizational behavior and human performance, 20(2):159–183, 1977.
- C.-C. Lo and X.-J. Wang. Cortico-basal ganglia circuit mechanism for a decision threshold in reaction time tasks. *Nature neuroscience*, 9(7):956–963, 2006.
- M. E. Mazurek, J. D. Roitman, J. Ditterich, and M. N. Shadlen. A role for neural integrators in perceptual decision making. *Cerebral cortex*, 13(11):1257–1269, 2003.
- D. P. Munoz, J. H. Fecteau, et al. Vying for dominance: dynamic interactions control visual fixation and saccadic initiation in the superior colliculus. *Progress in brain research*, 140:3–20, 2002.
- W. T. Newsome, K. H. Britten, and J. A. Movshon. Neuronal correlates of a perceptual decision. *Nature*, 341(6237):52–54, 1989.

BIBLIOGRAPHIE 35

T. J. Perfect, E. L. Watson, and G. F. Wagstaff. Accuracy of confidence ratings associated with general knowledge and eyewitness memory. *Journal of Applied Psychology*, 78(1): 144, 1993.

- J. D. Roitman and M. N. Shadlen. Response of neurons in the lateral intraparietal area during a combined visual discrimination reaction time task. *Journal of neuroscience*, 22 (21):9475–9489, 2002.
- M. N. Shadlen and W. T. Newsome. Motion perception: seeing and deciding. *Proceedings* of the national academy of sciences, 93(2):628–633, 1996.
- M. N. Shadlen and W. T. Newsome. Neural basis of a perceptual decision in the parietal cortex (area lip) of the rhesus monkey. *Journal of neurophysiology*, 86(4):1916–1936, 2001.
- L. Stankov. Complexity, metacognition, and fluid intelligence. *Intelligence*, 28(2):121–143, 2000.
- N. Uchida and Z. F. Mainen. Speed and accuracy of olfactory discrimination in the rat. *Nature neuroscience*, 6(11):1224–1229, 2003.
- N. Uchida, A. Kepecs, and Z. F. Mainen. Seeing at a glance, smelling in a whiff: rapid forms of perceptual decision making. *Nature Reviews Neuroscience*, 7(6):485–491, 2006.
- M. Usher and J. L. McClelland. The time course of perceptual choice: the leaky, competing accumulator model. *Psychological review*, 108(3):550, 2001.
- D. Vickers. Evidence for an accumulator model of psychophysical discrimination. *Ergonomics*, 13(1):37–58, 1970.
- X.-J. Wang. Probabilistic decision making by slow reverberation in cortical circuits. *Neuron*, 36(5):955–968, 2002.
- W. A. Wickelgren. Speed-accuracy tradeoff and information processing dynamics. *Acta psychologica*, 41(1):67–85, 1977.
- K.-F. Wong and X.-J. Wang. A recurrent network mechanism of time integration in perceptual decisions. *Journal of Neuroscience*, 26(4):1314–1328, 2006.
- K.-F. Wong, A. C. Huk, M. N. Shadlen, and X.-J. Wang. Neural circuit dynamics underlying accumulation of time-varying evidence during perceptual decision making. *Frontiers in Computational Neuroscience*, 1:6, 2007.